

04:10

# О формировании искрового разряда при пробое азота и воздуха в неоднородном электрическом поле

© В.Ф. Тарасенко, Е.Х. Бакшт, А.Г. Бураченко, М.И. Ломаев, Д.А. Сорокин, Ю.В. Шутько

Институт сильноточной электроники СО РАН,  
634055 Томск, Россия  
e-mail: VFT@loi.hcei.tsc.ru

(Поступило в Редакцию 21 октября 2009 г.)

При наносекундном разряде в азоте и воздухе повышенного давления при напряжении 50–250 kV исследован переход от объемного разряда, инициируемого пучком убегающих электронов, к искровому разряду. Показано, что в случае катода с малым радиусом кривизны, плоским аноде и наличии катодных пятен лидер искрового канала может распространяться с плоского анода. Показано, что при высоких скоростях роста напряжения на сантиметровых промежутках ( $dU/dt \sim 10^{15}$  V/s и быстрее) образование катодных пятен происходит при коронном разряде за время  $\sim 200$  ps.

Изучение перехода стримерного канала в искровой продолжает привлекать внимание исследователей [1]. Это связано со сложностью данного явления и малым временем переходных процессов. В [1] было высказано предположение, что при замыкании разрядного промежутка стримером создается электрическое поле, достаточное для возникновения автоэмиссии, которая и вызывает развитие процессов, приводящих к превращению стримерного канала в искровой. В работах, систематизированных в монографии [2], было показано, что контрагирование объемного разряда в широком диапазоне экспериментальных условий определяется появлением катодных пятен, которые возникают за счет взрывной электронной эмиссии. Объемный разряд при повышенных значениях давления газовых смесей формировался за счет предионизации от дополнительных источников. Далее из катодных пятен к аноду распространяются каналы, которые перемыкали промежуток.

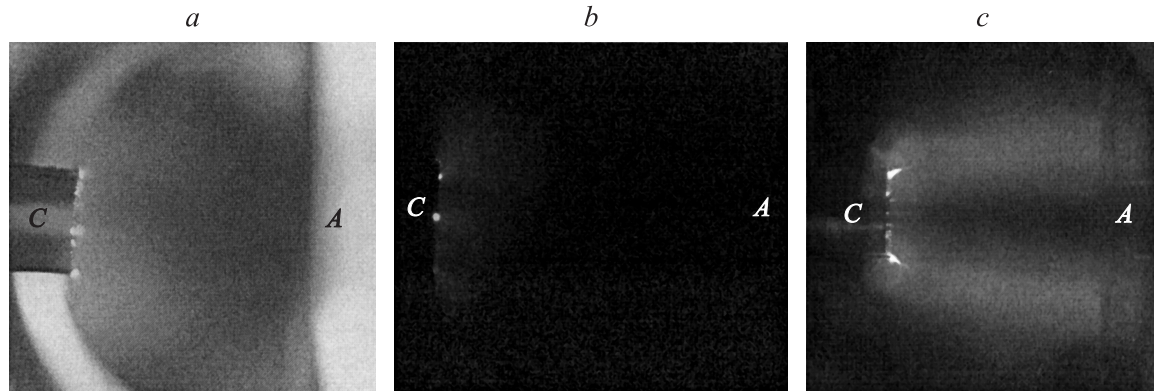
В последние годы существенно возрос интерес к изучению наносекундных разрядов в неоднородном электрическом поле при повышенных значениях давления газа [3–9]. Формирование диффузных разрядов в этих условиях наблюдается без дополнительного источника для предионизации разрядного промежутка. Особенность разрядов в неоднородном электрическом поле является генерация рентгеновского излучения и пучков убегающих электронов, которые регистрировались за анодами газовых диодов (см. сборник [7] и обзор [8], а также ссылки в них).

В [9] было предложено называть объемные (диффузные) разряды, формируемые без дополнительного источника для предионизации, ОРИПЭЛ (объемные разряды, инициируемые пучком электронов лавин). При геометрии промежутка острье–плоскость образование катодных пятен в ОРИПЭЛ происходит за время менее  $\sim 1$  ns [8]. Можно было бы предположить, что образование катодного пятна за короткое время будет приводить к формированию искрового канала. Однако особенности перехода от диффузного разряда к искровому разряду в неоднородном электрическом поле, высоких

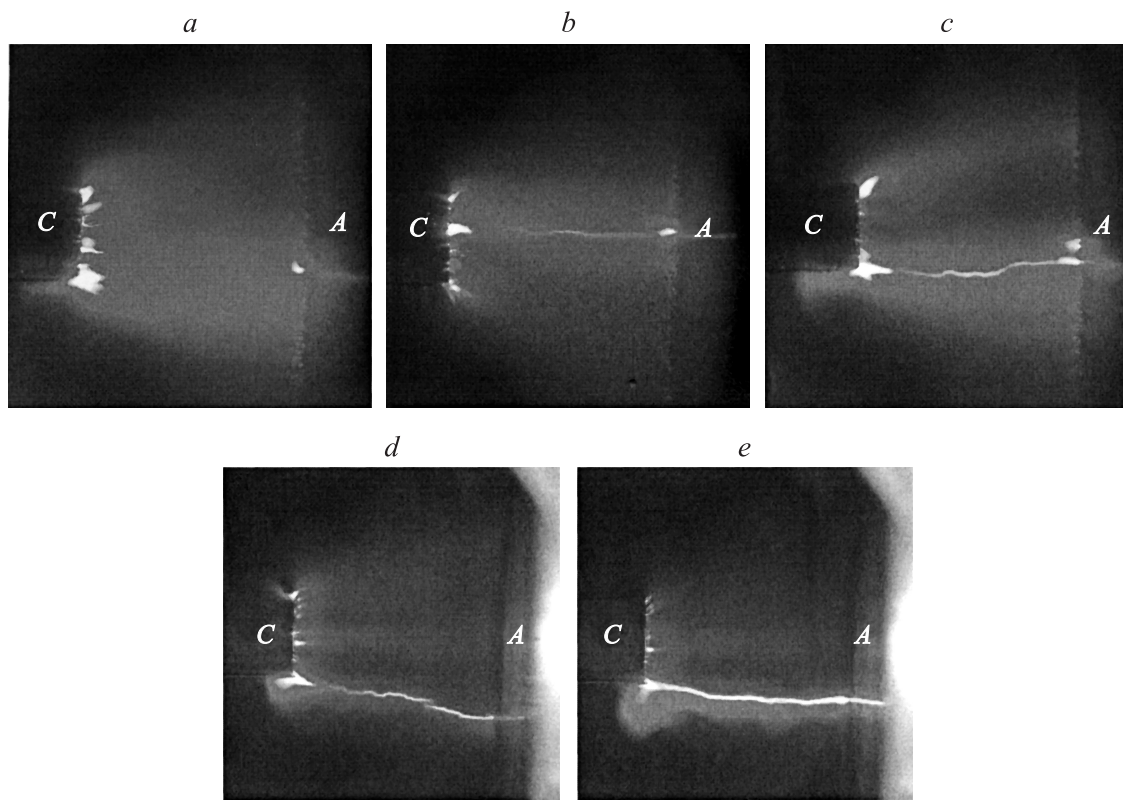
значениях приведенной напряженности электрического поля  $E/p$  и генерации убегающих электронов ранее не изучались.

Цель настоящей работы — экспериментально исследовать переход от диффузного разряда к искровому разряду в азоте и воздухе повышенного давления в неоднородном электрическом поле при генерации в разряде пучка убегающих электронов.

В работе использовались два импульсных наносекундных генератора, к которым подключались разрядные промежутки с плоским анодом и катодом, имеющим малый радиус кривизны. В качестве катода использовались трубы из нержавеющей стали с толщиной стенок 100  $\mu\text{m}$  и диаметром 6 mm. Конструкции подобных разрядных камер приведены в [6,8]. На промежуток подавались импульсы напряжения от генераторов СЛЭП-150 и РАДАН-220. Генератор СЛЭП-150 (без передающей линии) формировал на высокоомной нагрузке импульсы напряжения амплитудой  $\sim 150$  kV, амплитуда падающей волны в передающей линии составляла  $\sim 130$  kV. Фронт импульса при этом составлял  $\sim 250$  ps на уровне 0.1–0.9, а длительность импульса напряжения на полувысоте в случае согласованной нагрузки составляла  $\sim 1$  ns. Генератор РАДАН-220 формировал импульсы напряжения с фронтом  $\sim 500$  ps и амплитудой на высокоомной нагрузке  $\sim 250$  kV. Длительность импульса на полувысоте в случае согласованной нагрузки составляла  $\sim 2$  ns. Применение срезающего разрядника на генераторе СЛЭП-150 дало возможность провести исследования при длительности импульса напряжения на полувысоте 100 и 200 ps при уменьшении амплитуды импульса напряжения до  $\sim 50$  kV. Интегральная картина свечения разряда фотографировалась через сетку (анод) или окно (перпендикулярно продольной оси промежутка) фотоаппаратом SONY A100. Кроме того, с помощью фотоприемника PD025 компании Photec с временным разрешением  $\sim 100$  ps исследовалось изменение мощности излучения в области 200–900 nm во времени. Спектры излучения разряда снимались с помощью спектрометра EPP2000C-25 (StellarNet Inc.) с известной спектральной чувствительностью в области от 200 до 850 nm.



**Рис. 1.** Фотография излучения разряда при длительности импульса напряжения 200 ps (*a, b*) и 2 ns (*c*). *a, b* — генератор СЛЭП-150, длина промежутка  $d = 16$  mm, воздух при давлении  $p = 0.1$  MPa. *c* — генератор РАДАН-220,  $d = 14$  mm, азот,  $p = 0.3$  MPa.

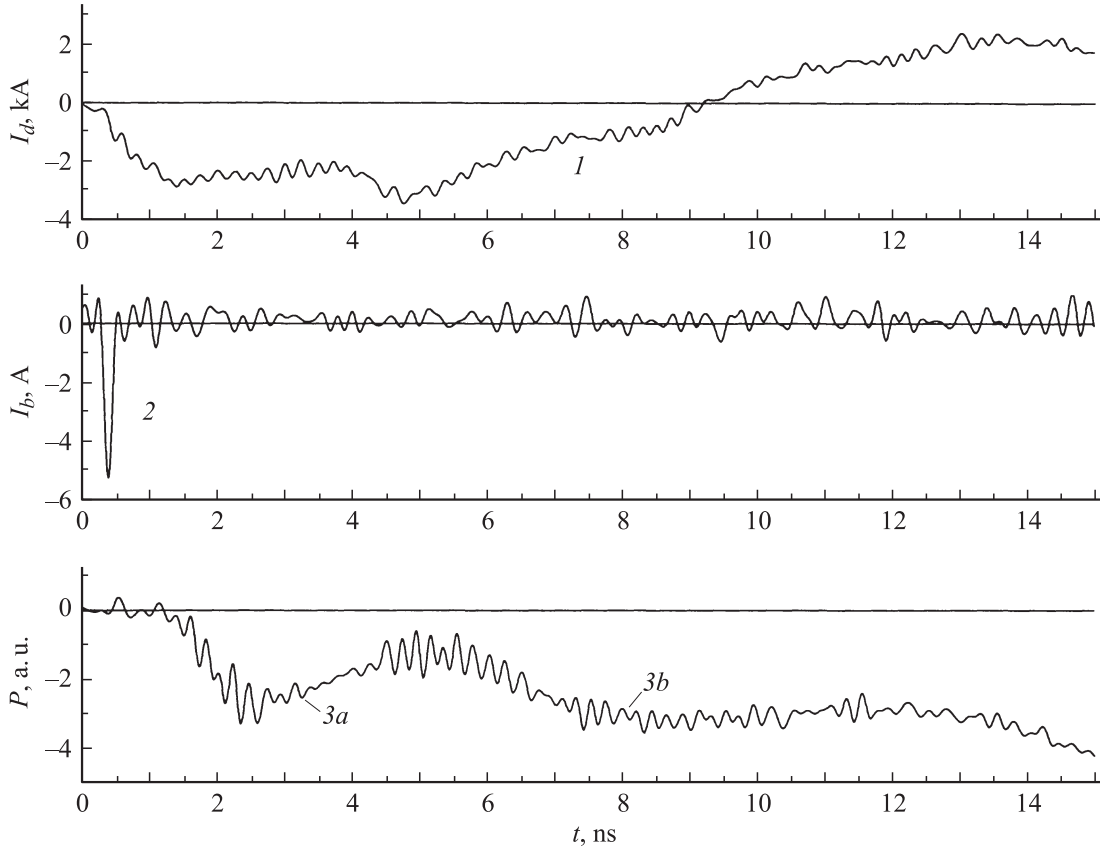


**Рис. 2.** Фотографии излучения разряда при длительности импульса напряжения 2 ns в воздухе при  $p = 0.05$  MPa (*a, b, c*) и смеси азота добавкой 200 Pa метана при  $p = 0.15$  MPa (*d, e*). Генератор РАДАН-220,  $d = 14$  mm.

Электрические сигналы с шунтов, емкостных делителей, коллектора и фотоприемника регистрировались осциллографом TDS-6604 (6 GHz, 20 GS · s<sup>-1</sup>) или DPO70604 (6 GHz, 25 GS · s<sup>-1</sup>).

Проведенные исследования подтвердили, что при высоких электрических полях, концентрации электрического поля на катоде и субнаносекундной длительности фронта импульса напряжения формируется ОРИПЭЛ. Установлено, что начальной стадией ОРИПЭЛ является диффузная корона, которая появляется за время в сотни пиросекунд.

На рис. 1 показаны фотографии разряда в воздухе атмосферного давления при длительности импульса напряжения 200 ps на полувысоте и межэлектродном зазоре 16 mm. На рис. 1, *a* промежуток дополнительно освещался от настольной лампы, а снимок разряда был получен за 16 импульсов. На рис. 1, *b* освещения промежутка не было, а фотография излучения разряда была сделана за 2 импульса. На катоде в обоих случаях видны яркие пятна и их число возрастает при увеличении количества импульсов. В прикатодной области на обеих фотографиях видно диффузное свечение. Увеличение



**Рис. 3.** Осциллографмы импульса разрядного тока  $I_d$  (1), тока пучка убегающих электронов  $I_b$  (2) за анодом, а также излучения ОРИПЭЛ (3, a) и искры (3, b). Генератор РАДАН-220,  $d = 6$  mm, азот,  $p = 0.35$  MPa.

длительности импульса напряжения до 1–2 ns приводит к формированию во всем промежутке диффузного разряда, рис. 1, с. Интенсивность излучения катодных пятен возрастает, а также увеличивается их размер.

На рис. 1, с и рис. 2 хорошо видны лидеры искрового канала, которые распространяются к аноду. Лидерами искрового канала предлагаем называть более яркие по сравнению с диффузным разрядом каналы, которые пробивают только часть промежутка. При этом интенсивность их излучения существенно меньше, чем интенсивность излучения искрового канала. Однако скорость анодонаправленных лидеров сравнительно мала, и они в течение импульса напряжения, длительность которого с учетом отражений может возрастать с генератором РАДАН-220 до десятков наносекунд, продвигаются к аноду не более чем на 3 mm. Яркие пятна на аноде в азоте при давлении 0.1–0.3 MPa обычно не наблюдались (см. рис. 1, с).

Было обнаружено, что промежуток в данных условиях пробивает лидер искрового канала, который распространяется от анода, а его движению к катоду предшествует образование анодного пятна. Различные фазы пробоя промежутка лидером более легко было наблюдать в воздухе (см. рис. 2, a–c) и в смеси азота с добавками метана (см. рис. 2, d, e). На рис. 2, a видно, что движению катодонаправленного лидера предшествует появление

анодного пятна. На следующем этапе от анодного пятна прорастает лидер искрового канала со сравнительно малой интенсивностью излучения, который может иметь изгибы под прямым углом. На рис. 2, b, d видно, что перед катодным пятном до образования искры имеется область с диффузным свечением разряда. Это показывает, что лидер на данных фотографиях еще не достиг катода. Рис. 2, e иллюстрирует вид разряда при лидере, который закоротил промежуток (искровой разряд, сформировавшийся в конце импульса напряжения). Интенсивность излучения искры возросла, а изгибы на канале сгладились. На рис. 2, e интенсивность излучения искры относительно мала, и хорошо видно излучение диффузного разряда. При уменьшении длины разрядного промежутка и (или) увеличении длительности импульса напряжения интенсивность излучения искры существенно превышает интенсивность излучения ОРИПЭЛ. В этом случае на фотографиях разряда видны только искры.

Спектральные исследования показали, что основной вклад в излучение диффузного разряда в азоте, воздухе, смеси азота с метаном и водородом дает вторая положительная система азота в ближней УФ-области спектра. Излучение искры является широкополосным и регистрируется в области от 200 до 800 nm. Измерения концентрации электронов по штарковскому уширению

линий водорода показали, что в азоте атмосферного давления в искровом канале она составляет  $3 \cdot 10^{17} \text{ см}^{-3}$ . Напряжение на промежуток подавалось от генератора РАДАН-220. Для определения момента появления искры были проведены измерения зависимости интенсивности излучения диффузного разряда и искры от времени для значений давления от 0.02 до 0.6 МПа. При зазоре 14–16 mm в азоте искровые каналы формировались только при давлении  $\sim 0.5$  МПа и более. Излучение искры начинало регистрироваться через время  $\sim 5$  ns и более. Минимальная задержка между максимальной интенсивностью излучения второй положительной системы азота и максимальной интенсивностью широкополосного излучения искры при давлении  $\sim 0.5$  МПа составляла  $\sim 10$  ns. Для сокращения времени формирования искры межэлементный зазор был уменьшен до 6 mm.

На рис. 3 приведены осциллограммы импульсов тока разряда, излучения и тока пучка убегающих электронов (СЛЭП [9]), регистрируемых за отверстием диаметром 1 mm в аноде, полученные при давлении азота 0.35 МПа. Все осциллограммы синхронизованы во времени с точностью  $\sim 100$  ps (импульсы тока разряда и тока пучка) и  $\sim 500$  ps (импульсы тока разряда и излучения). Анализ полученных данных подтвердил, что и при малых зазорах разрядного промежутка излучение искры регистрируется после появления излучения диффузного разряда. Максимум излучения искры (при наличии нескольких максимумов — первый) всегда в исследованных условиях запаздывал относительно излучения диффузного разряда. Минимальное запаздывание появления излучения искры относительно тока разряда при высоком давлении составило  $\sim 2$  ns. Запаздывание генерации СЛЭП относительно начала тока разряда составляло при этом  $\sim 500$  ps.

В данной работе получены данные о переходе диффузного разряда в искровой разряд. Показано, что при высоких напряженностях электрического поля, катоде с малым радиусом кривизны и наличии катодных пятен лидер искрового канала может распространяться от плоского анода к катоду. В работе [10] в воздухе атмосферного давления при пробое в неоднородном электрическом поле была зарегистрирована скорость катодонаправленного стримера, большая, чем у анодонаправленного стримера. Оба стримера двигались от электрода с малым радиусом кривизны. Это дает основание полагать, что большие скорости катодонаправленных лидеров искрового канала и стримеров можно объяснить генерацией убегающих электронов в области концентрации электрического поля. Убегающие электроны при движении лидера к аноду осуществляют предионизацию области перед ним, и делают фронт плотной плазмы более размытым, чем у катодонаправленного лидера. Соответственно концентрации электрического поля перед фронтом лидера и скорость его движения уменьшаются.

В работе также показано, что катодные пятна при больших скоростях роста напряжения на промежутке

формируются при коронном разряде за время  $\sim 200$  ps. Образование анодных пятен происходит после пробивания промежутка плотной плазмы или, возможно, в момент приближения фронта плотной плазмы к аноду.

## Список литературы

- [1] Коренюгин Д.Г., Марцинковский А.М., Орлов К.Е. // Письма в ЖТФ. 2009. Т. 35. Вып. 20. С. 34–40.
- [2] Королев Ю.Д., Месяц Г.А. Автоэмиссионные и взрывные процессы в газовом разряде. Новосибирск: Наука, 1982.
- [3] Репин П.Б., Репьев А.Г., Данченко Н.Г. // Письма в ЖТФ. 2007. Т. 33. Вып. 23. С. 51–58.
- [4] Репин П.Б., Репьев А.Г. // ЖТФ. 2008. Т. 78. Вып. 1. С. 78–85.
- [5] Карелин В.И., Тренькин А.А. // Письма в ЖТФ. 2009. Т. 35. Вып. 9. С. 37–43.
- [6] Baksht E.K., Burachenko A.G., Kostyrya I.D., Lomaev M.I., Rybka D.V., and Tarasenko V.F. // J. Phys. D: Appl. Phys. 2009. Vol. 42. N 18. P. 1261–1269.
- [7] Пучки убегающих электронов и разряды на основе волны размножения электронов фона в плотном газе / Под ред. С.И. Яковленко. М.: Наука, 2007. Т. 63.
- [8] Tarasenko V.F., Baksht E.K., Burachenko A.G., Kostyrya I.D., Lomaev M.I., and Rybka D.V. // Plasma Devices and Operation. 2008. Vol. 16. N 4. P. 267–298.
- [9] Тарасенко В.Ф., Орловский В.М., Шунайлов С.А. // Изв. вузов. Физика. 2003. Т. 46. № 3. С. 94–95.
- [10] Wang D., Jikuwa M., Yoshida S., Namihira T., Katsuki S., Akiyama H. // IEEE Trans. of Plasma Sci. 2007. Vol. 35. N 4. P. 1098–1103.